

FIG. 1

2/23

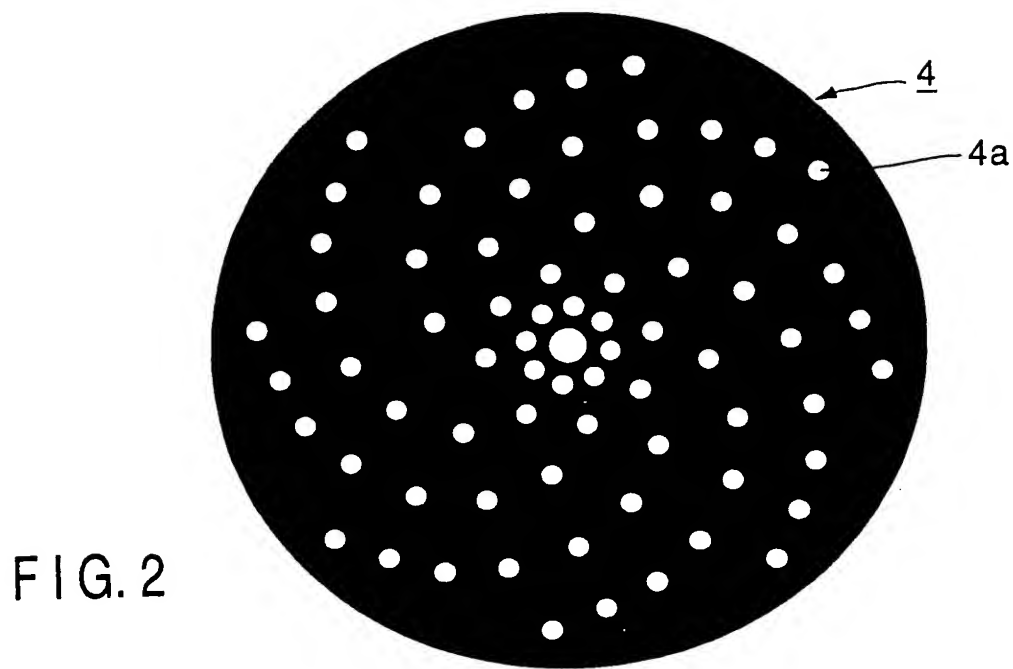


FIG. 2

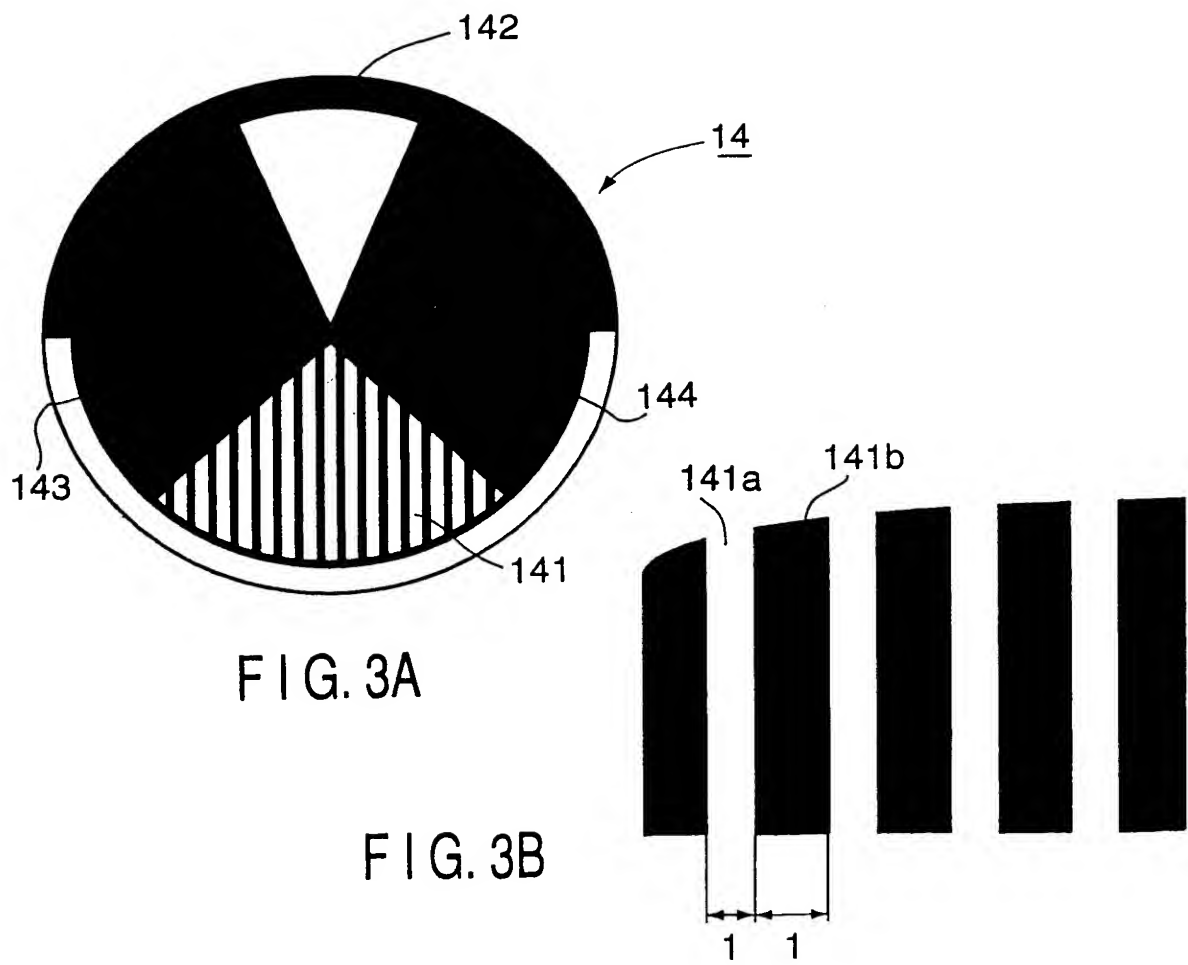


FIG. 3A

FIG. 3B

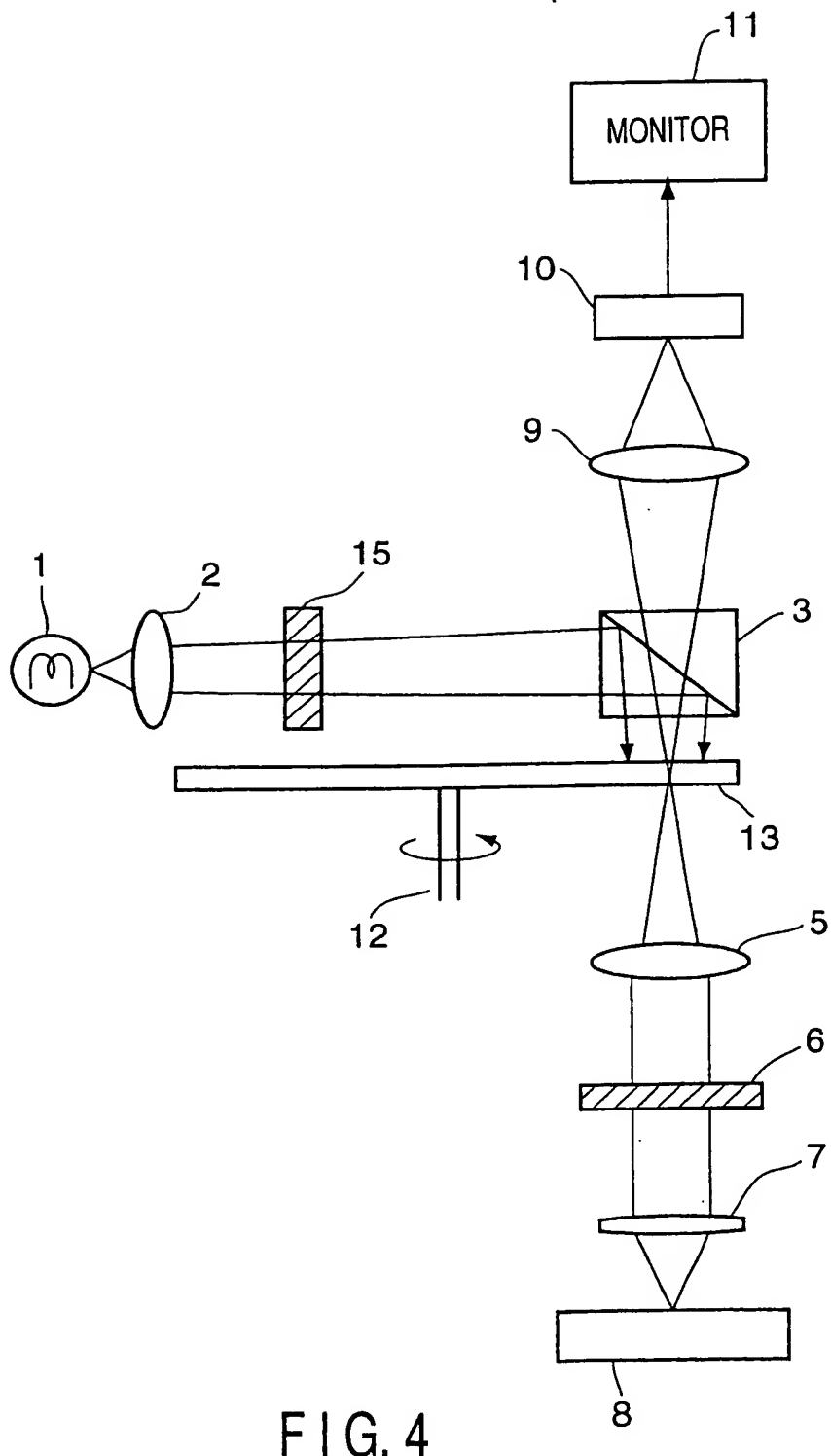


FIG. 4

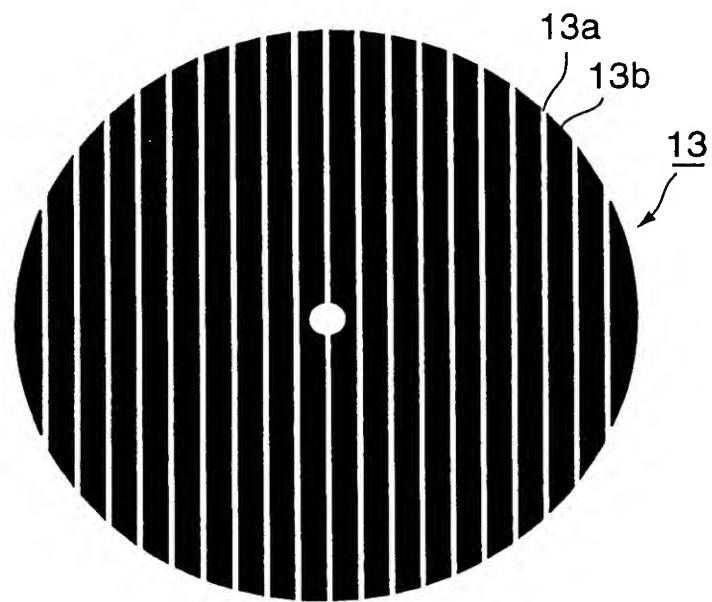


FIG. 5A

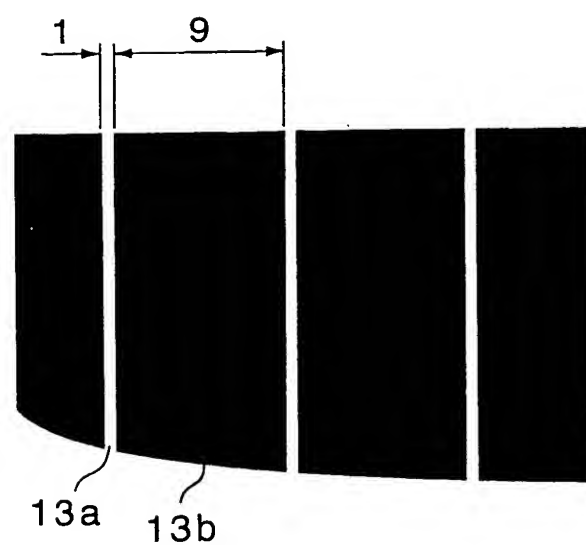


FIG. 5B

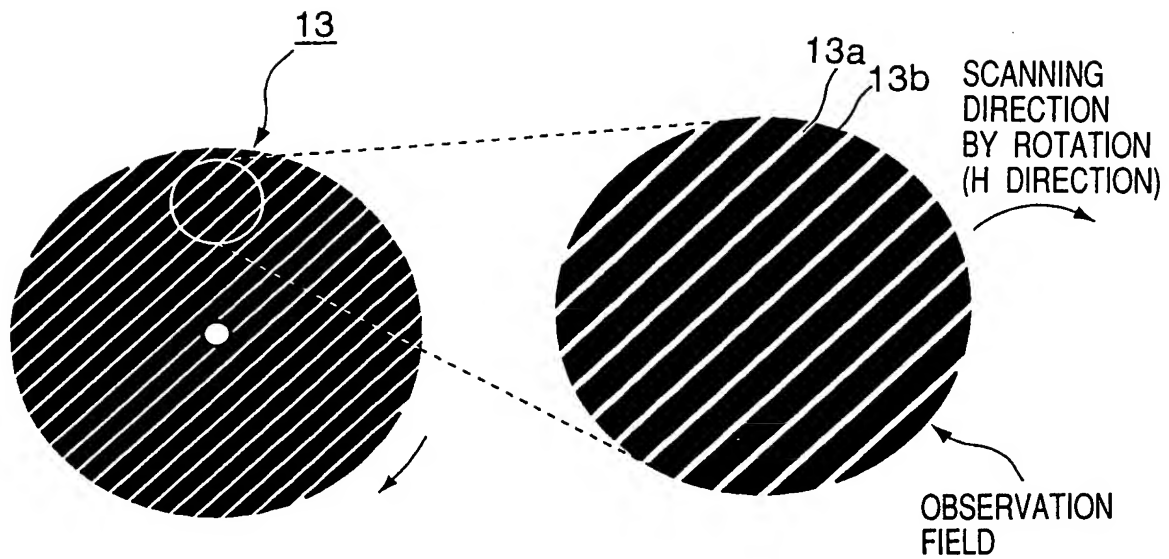


FIG. 6A

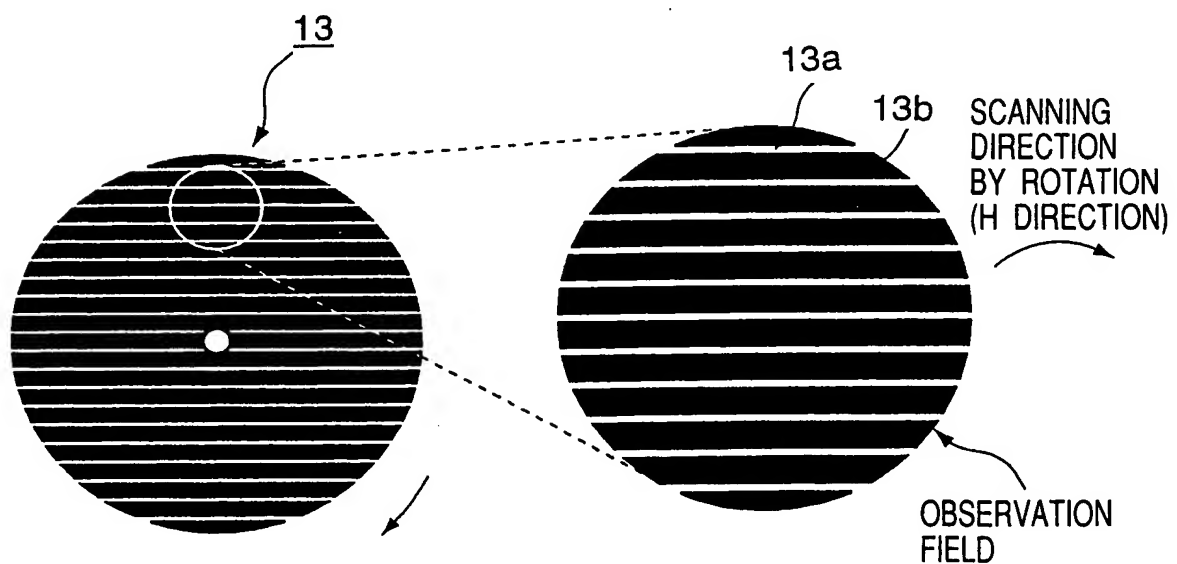


FIG. 6B

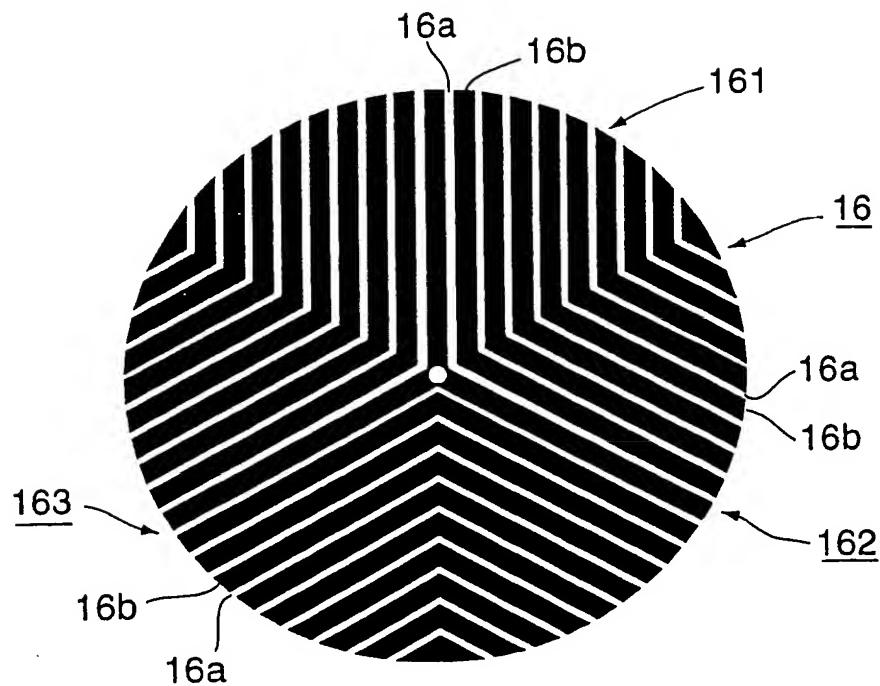
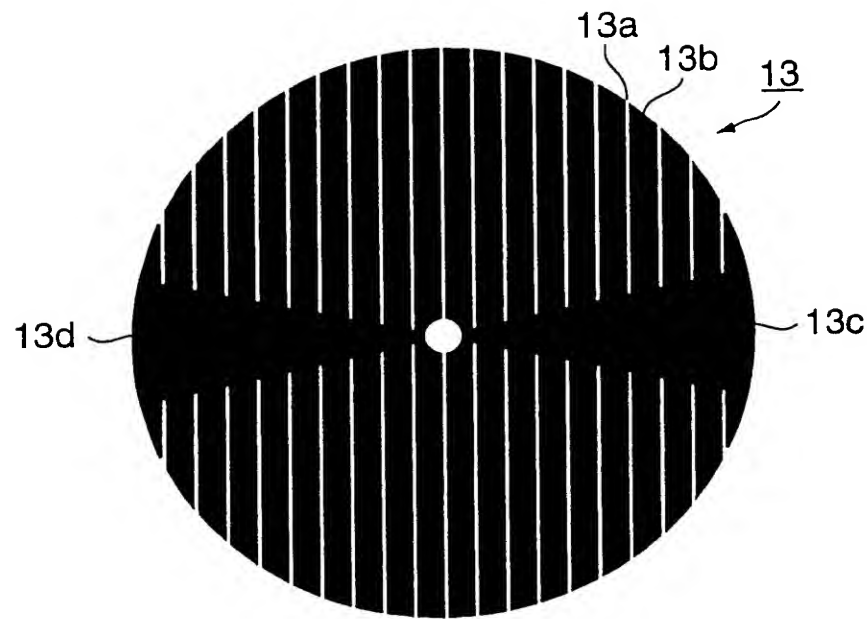


FIG. 8

7/23

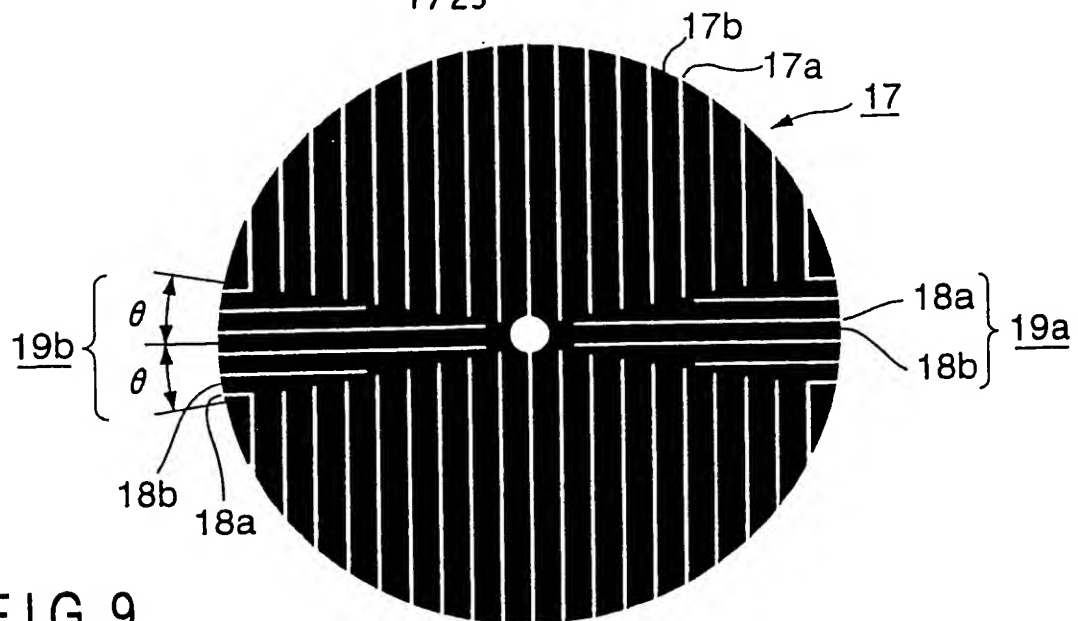


FIG. 9

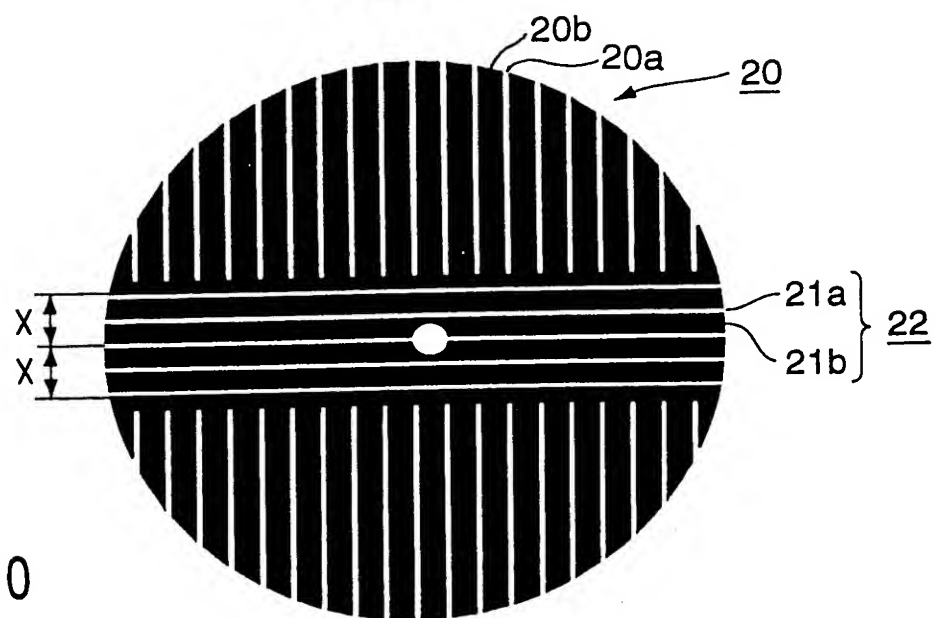


FIG. 10

| R [mm] | θ [°] | X [mm] |
|--------|-------|----------|
| | | |
| 20 | 10.5 | 3.64471 |
| 30 | 7 | 3.65608 |
| 40 | 5.2 | 3.625303 |
| 50 | 4.2 | 3.66191 |
| 60 | 3.5 | 3.662912 |
| 70 | 3 | 3.663517 |

FIG. 11

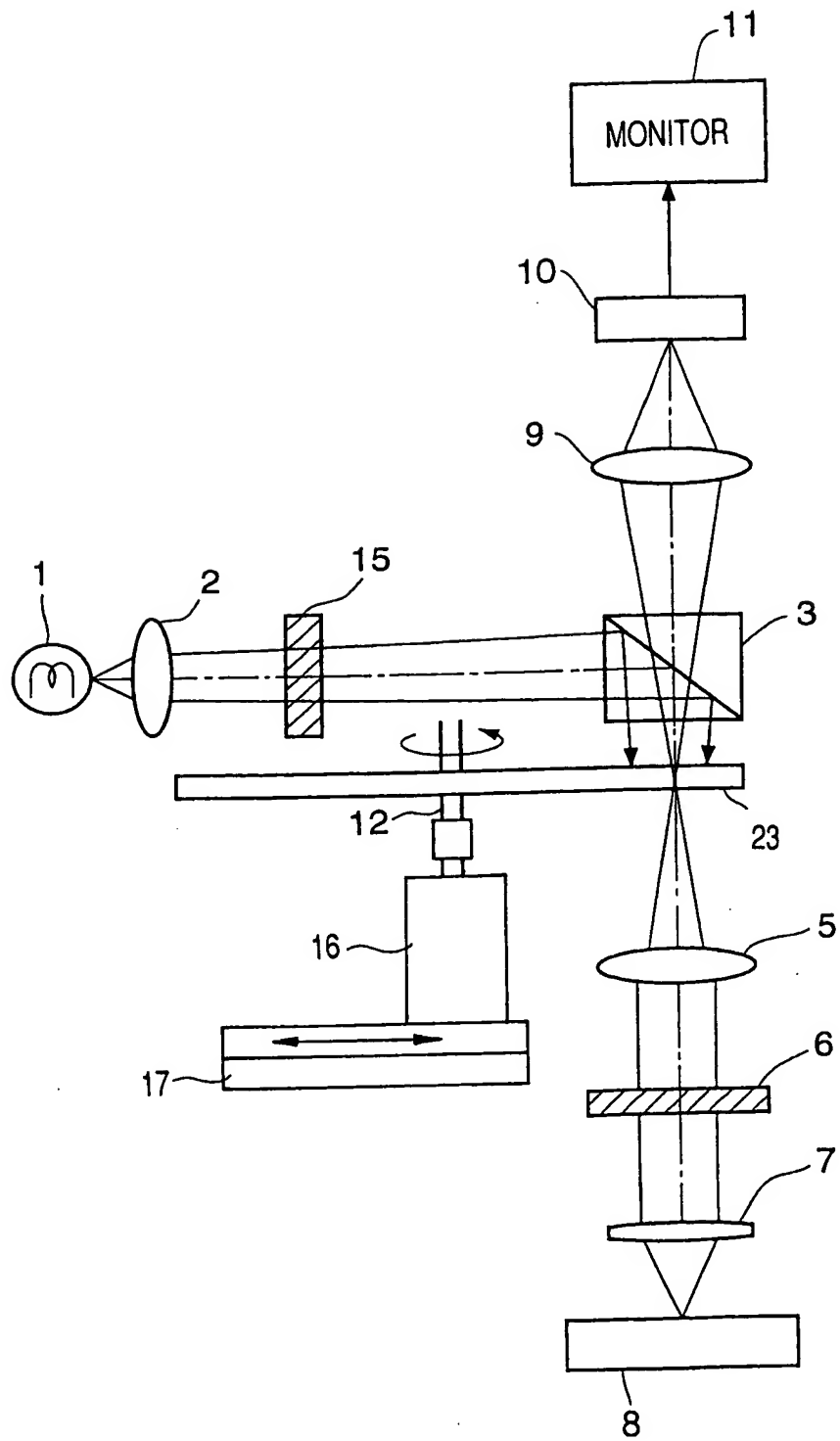


FIG. 12

MOVEMENT OF OBSERVATION FIELD

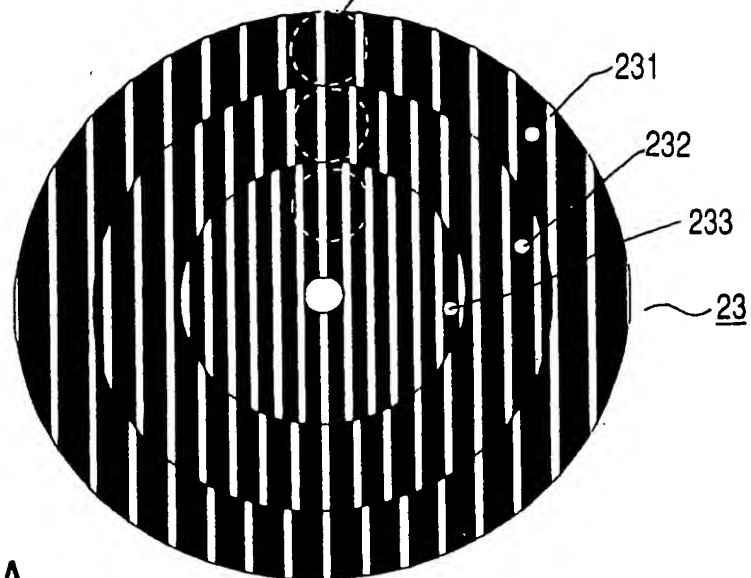


FIG. 13A

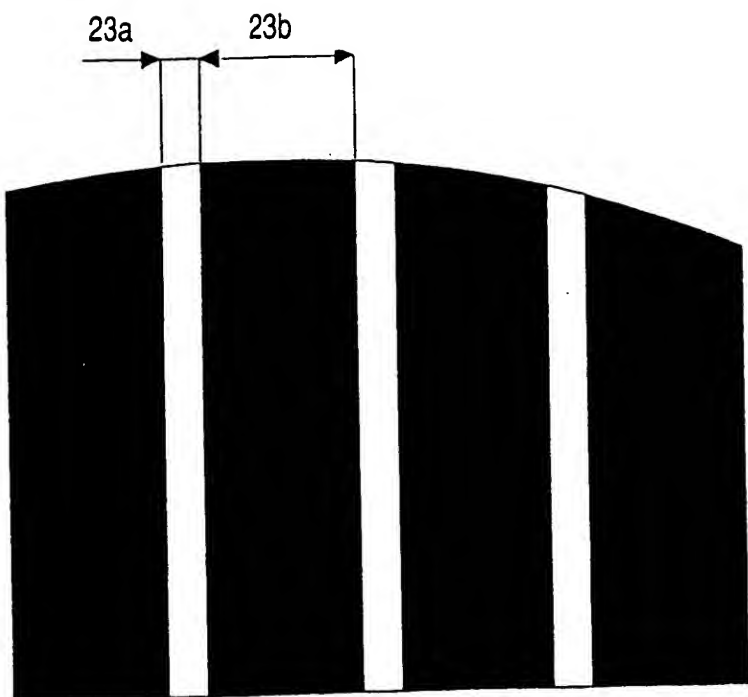


FIG. 13B

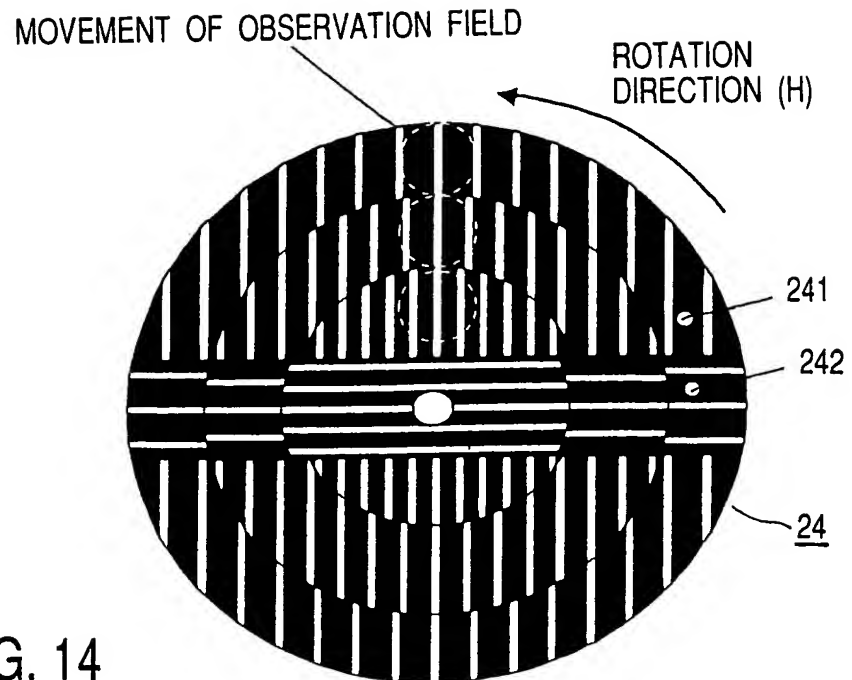


FIG. 14

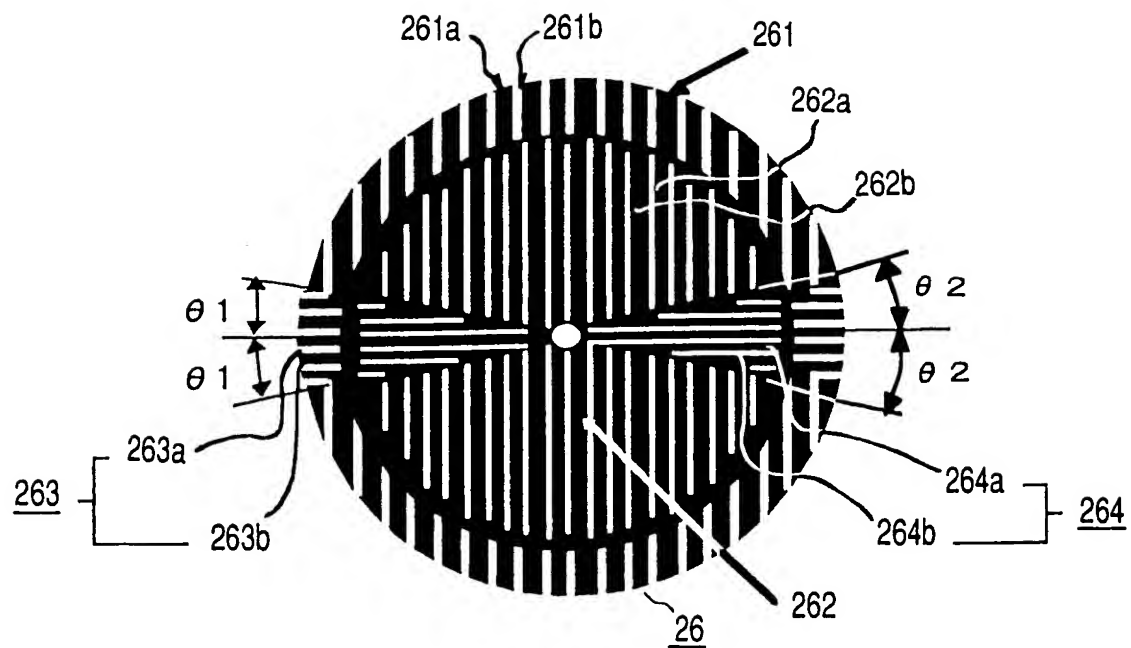


FIG. 16

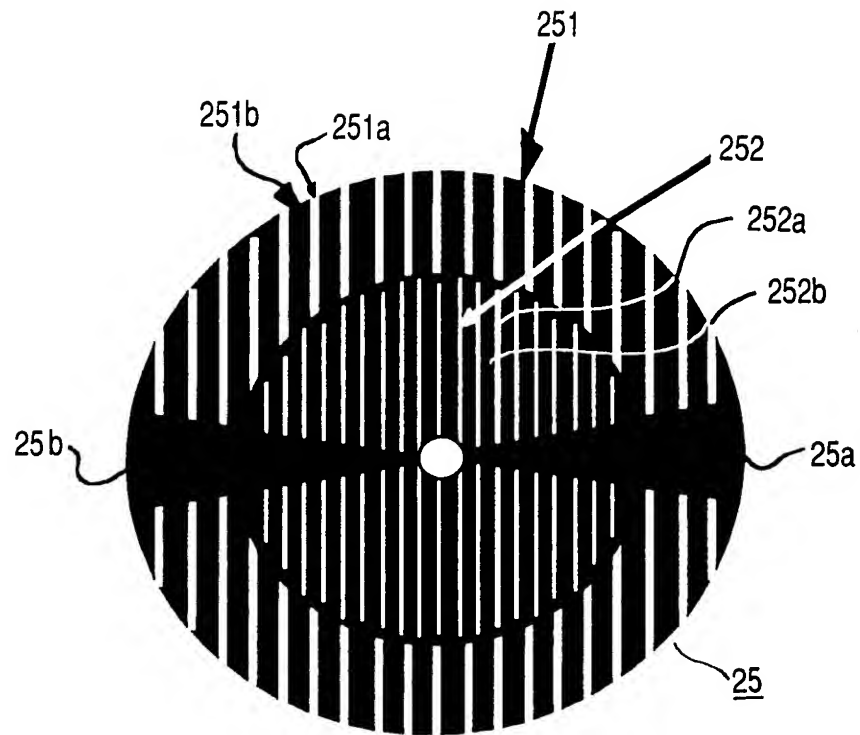


FIG. 15A

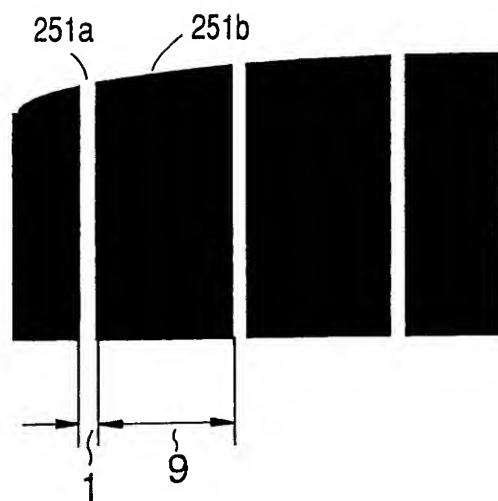


FIG. 15B

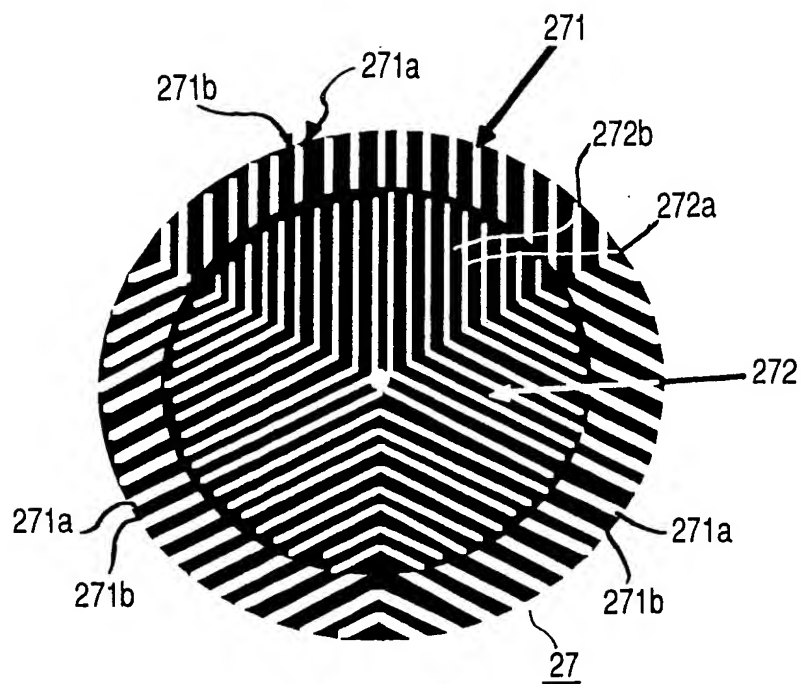


FIG. 17

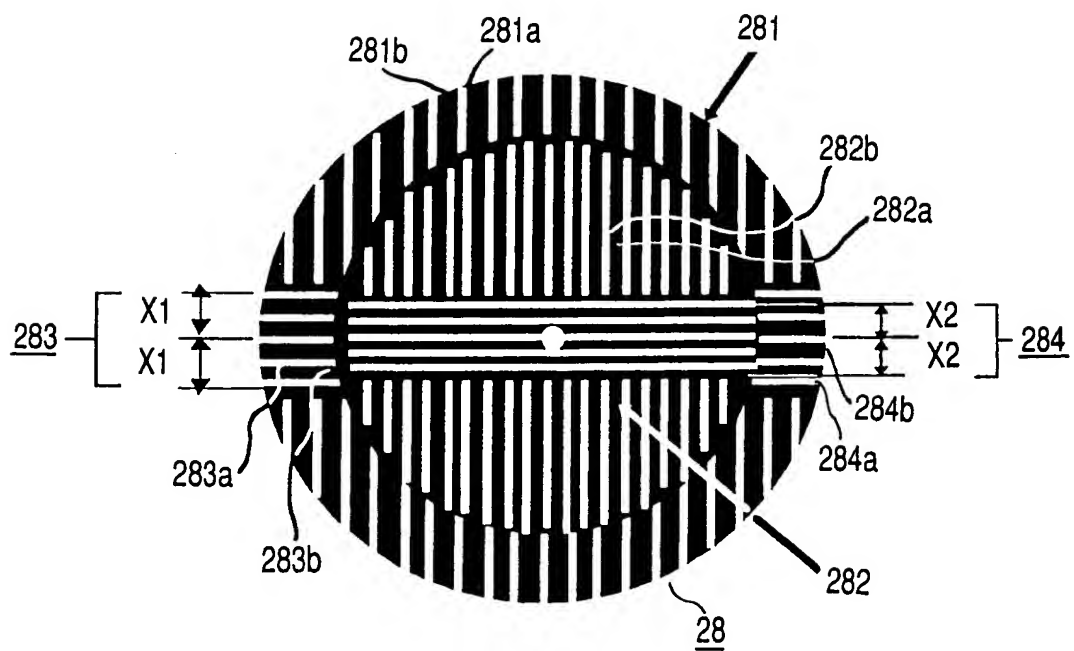


FIG. 18

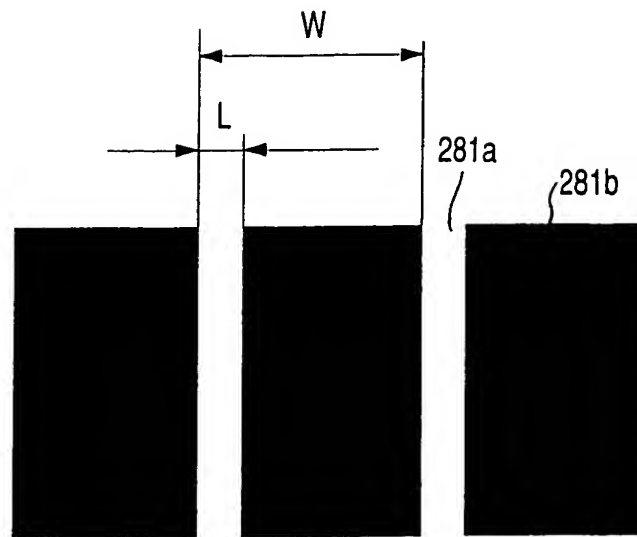


FIG. 19

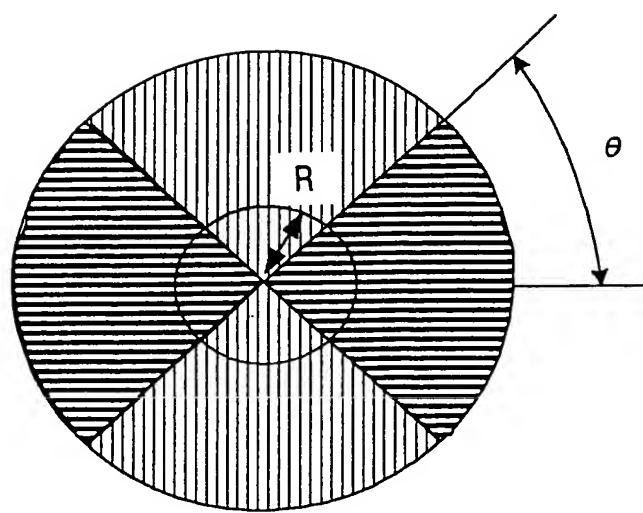
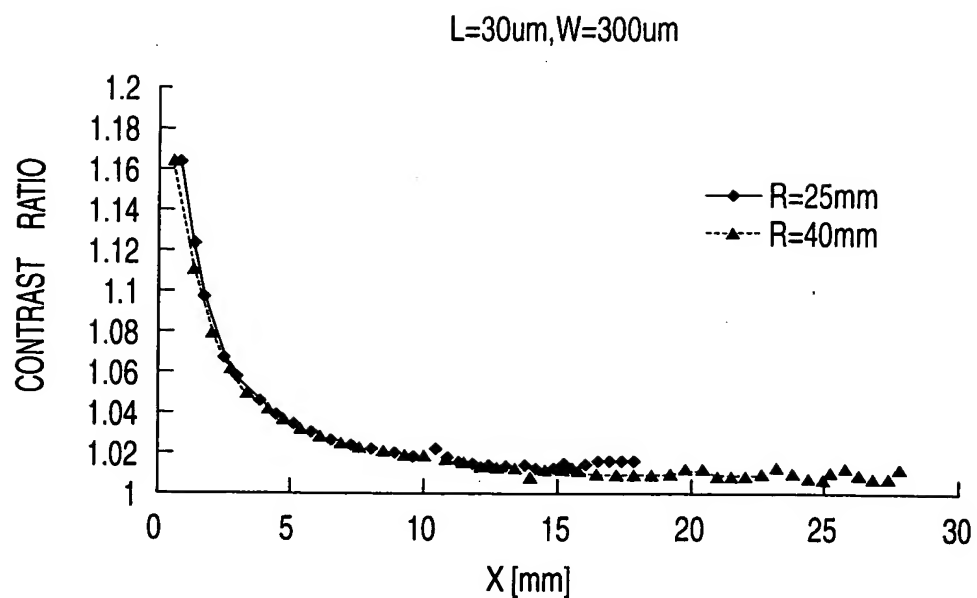
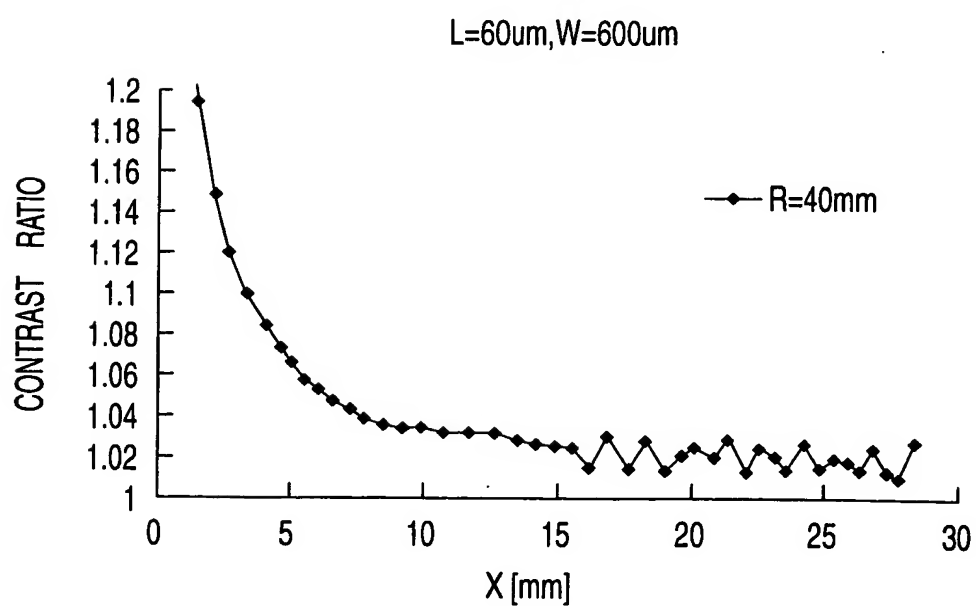


FIG. 20



F I G . 21



F I G . 22

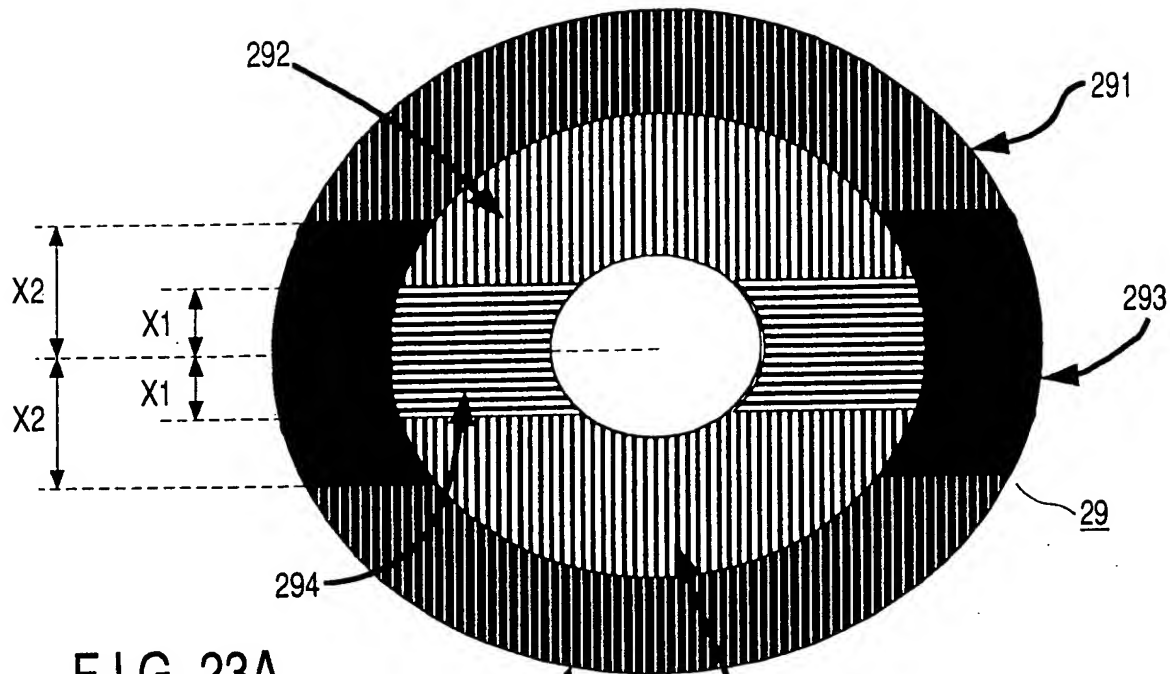


FIG. 23A

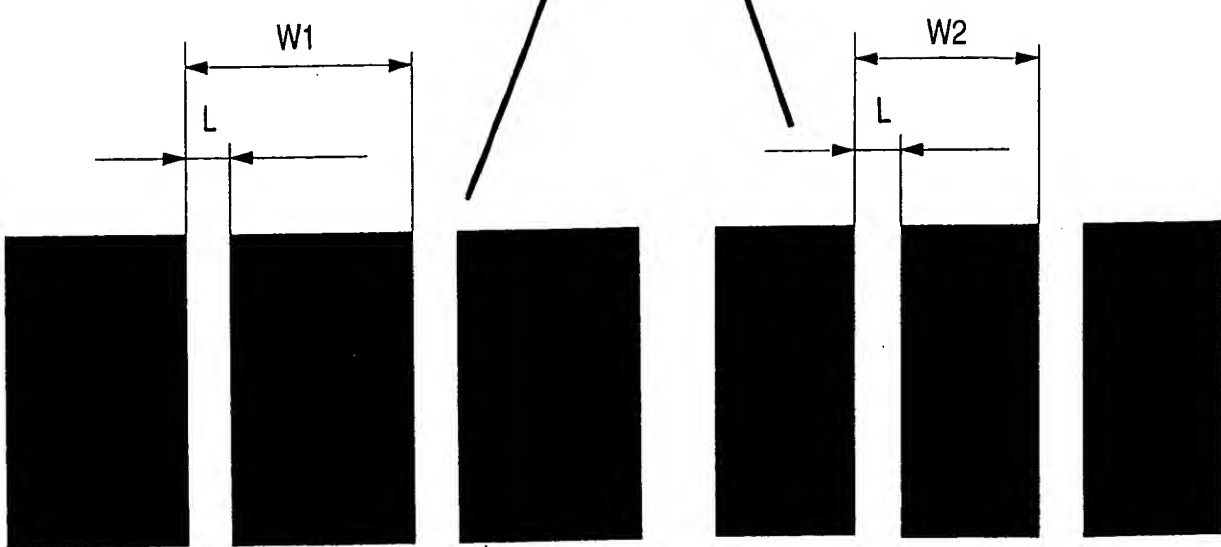
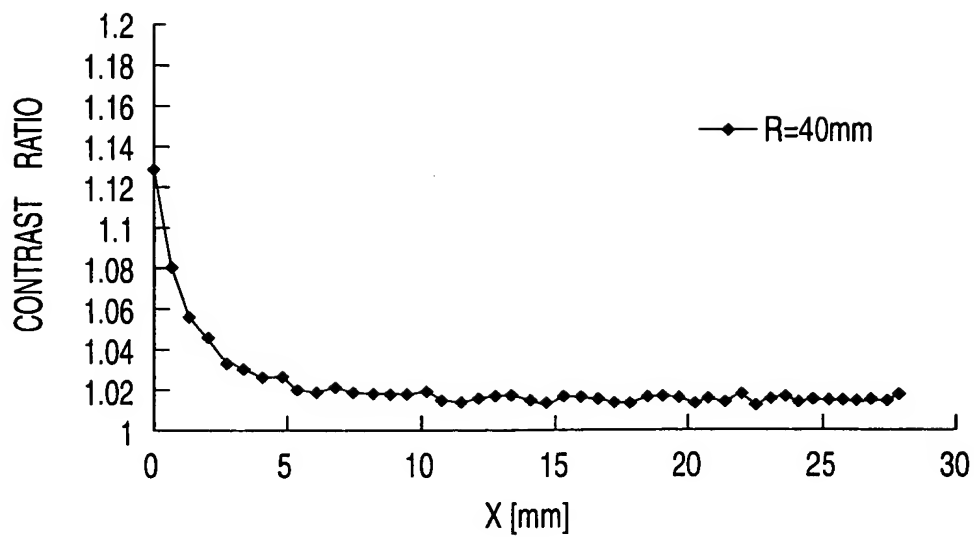
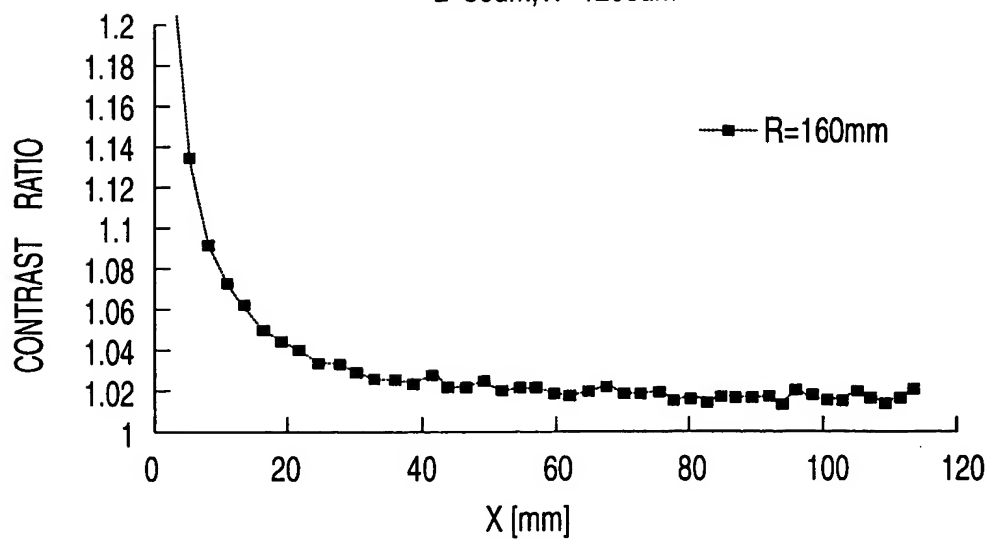


FIG. 23B

$L=30\mu m, W=150\mu m$ 

F I G . 24

 $L=30\mu m, W=1200\mu m$ 

F I G . 25

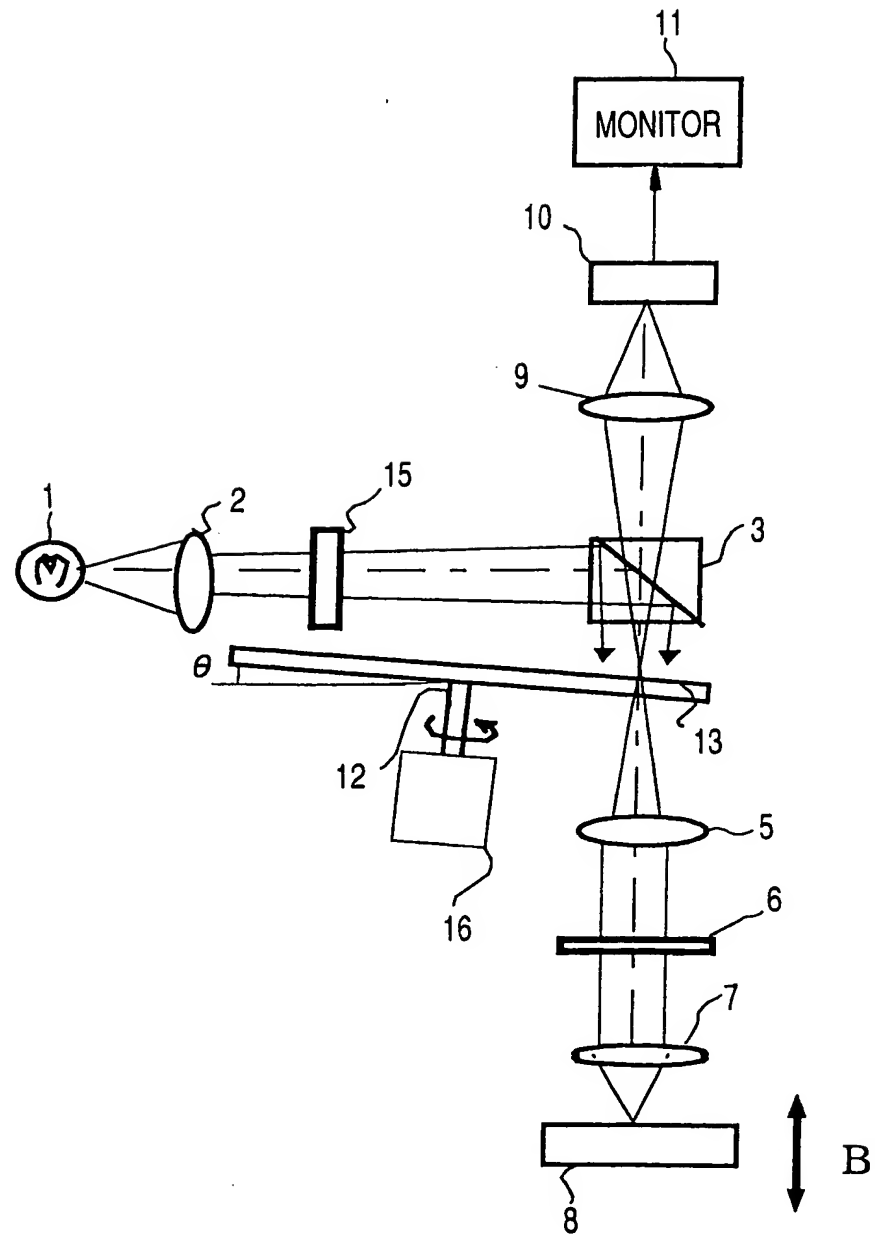


FIG. 26

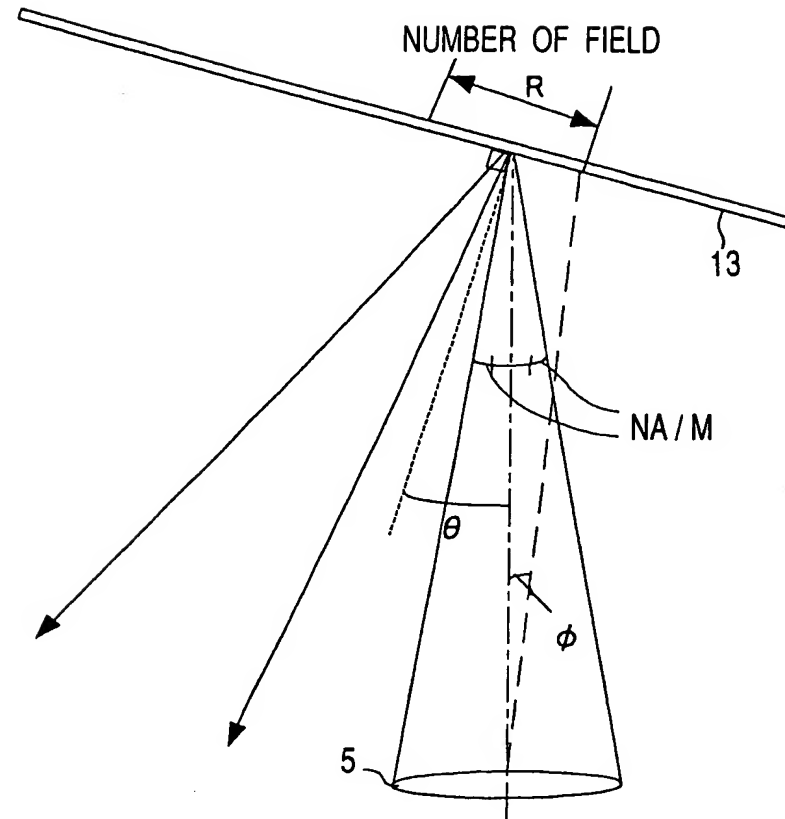


FIG. 27

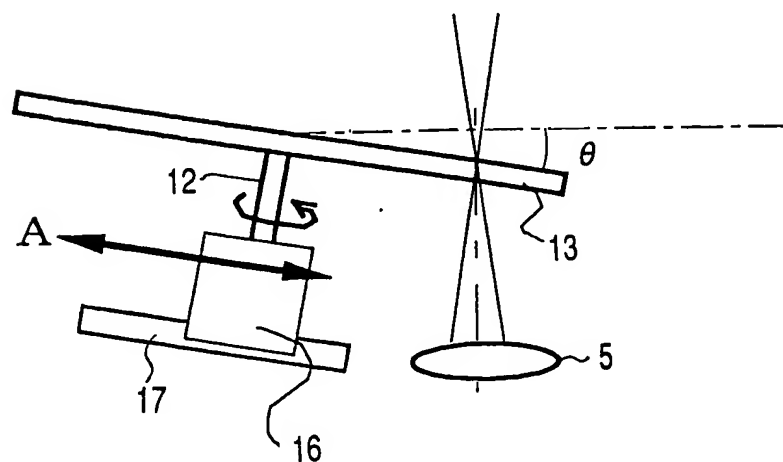


FIG. 28

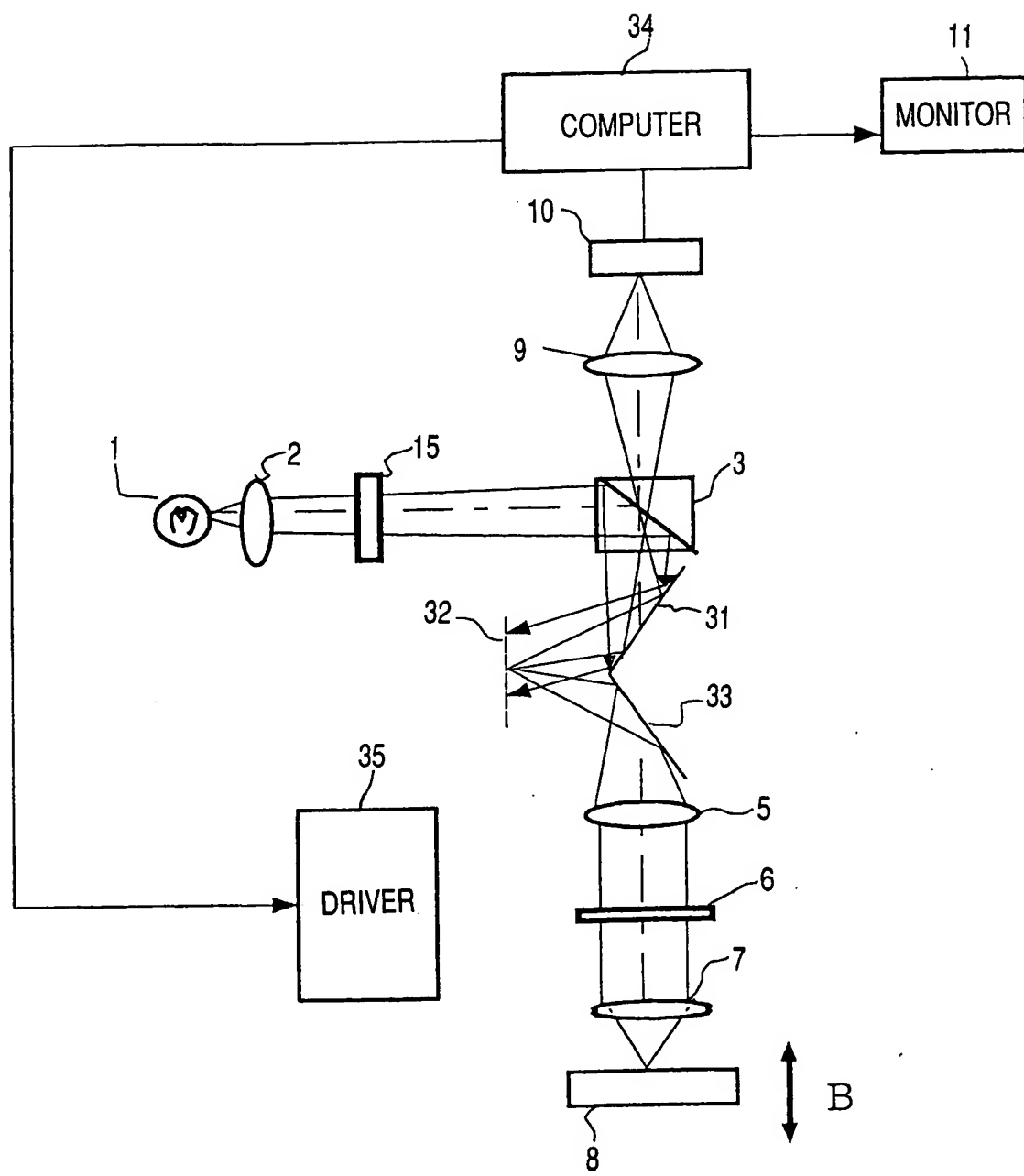


FIG. 29

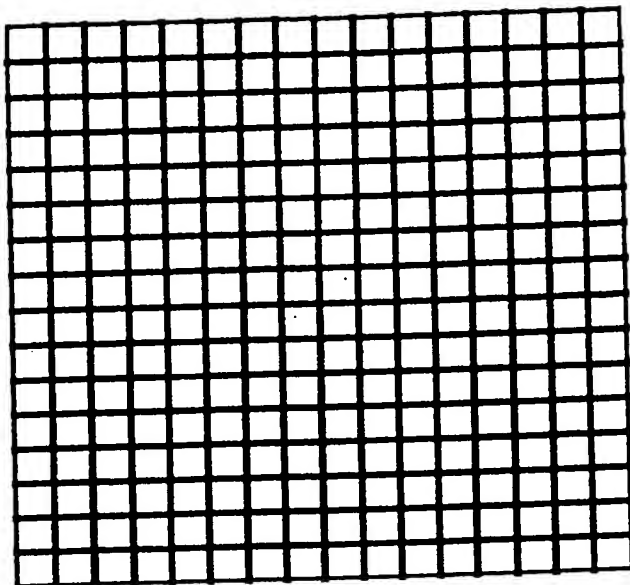


FIG. 30A



FIG. 30B

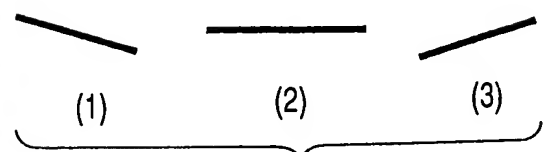


FIG. 30C

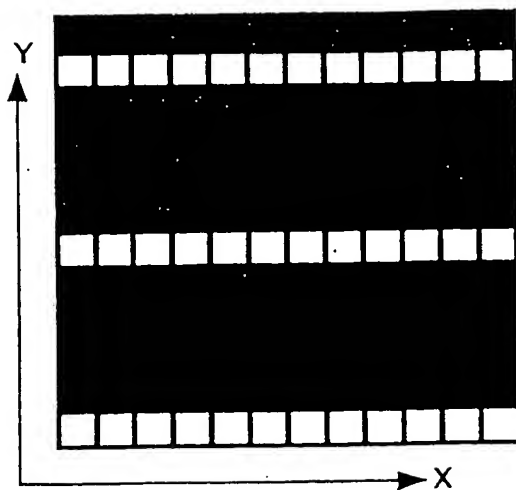


FIG. 31A

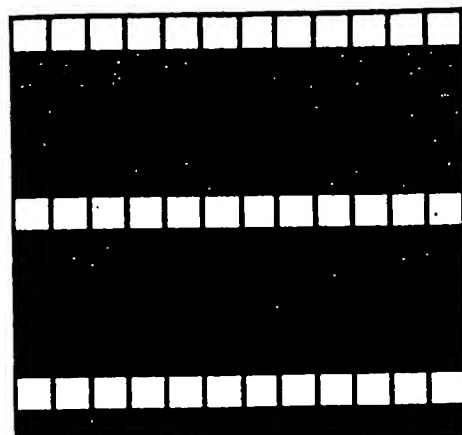
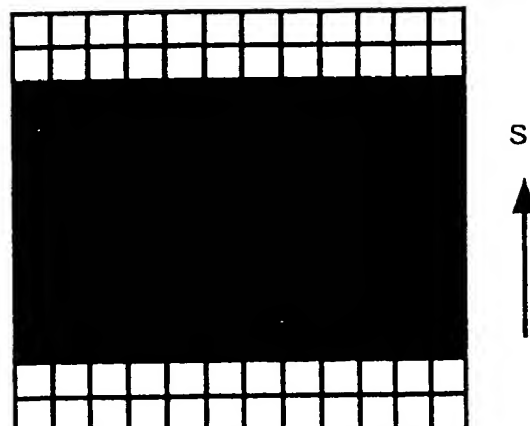
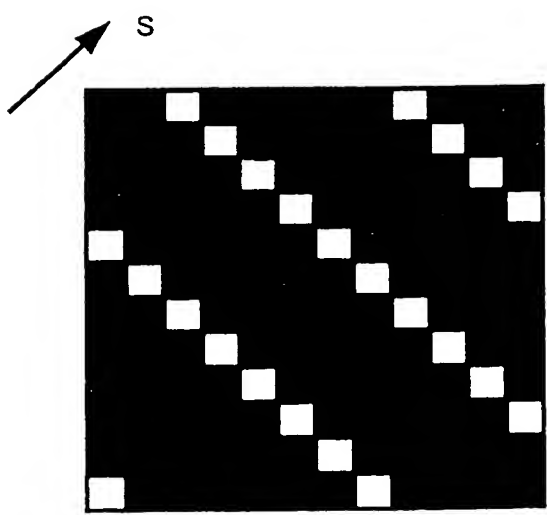
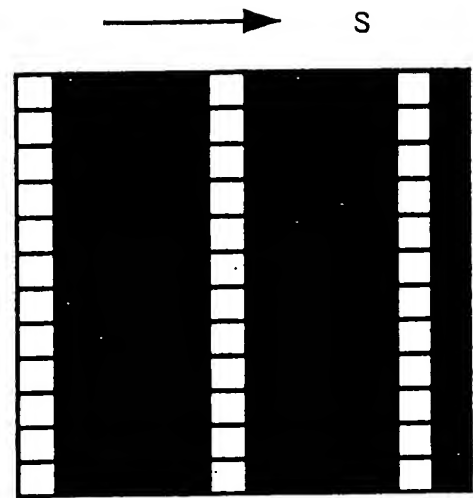
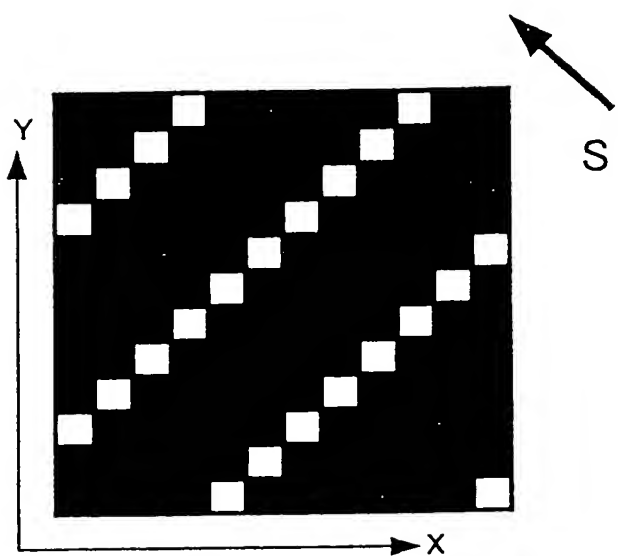
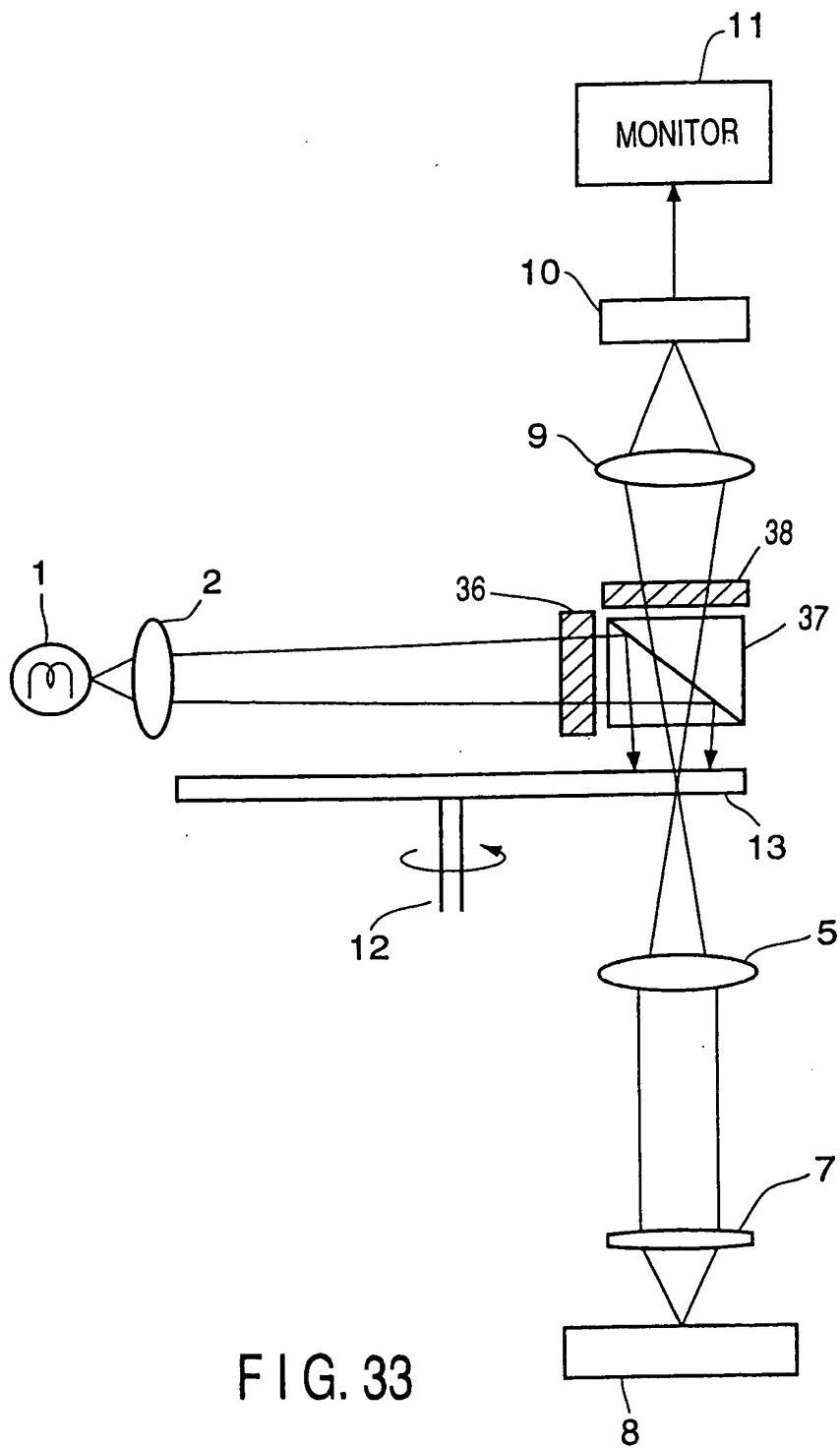


FIG. 31B





23/23

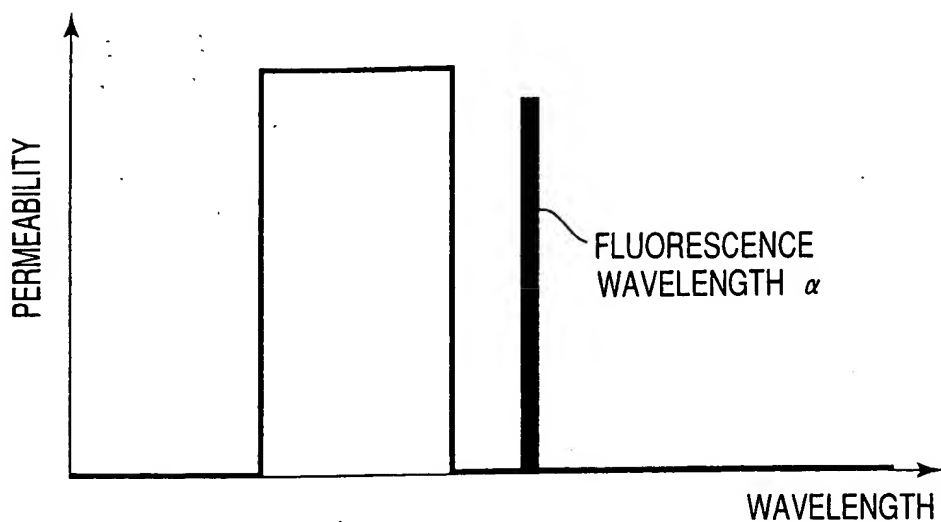


FIG. 34

23/23

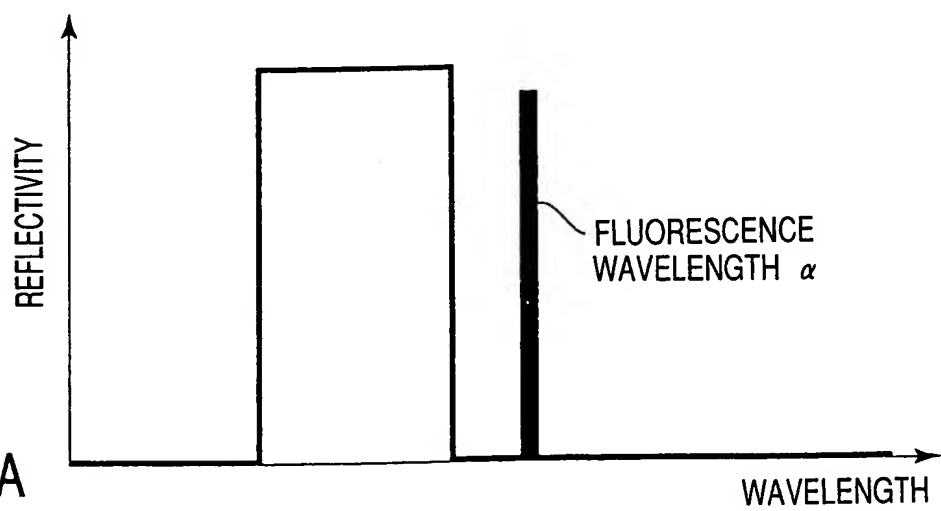


FIG. 35A

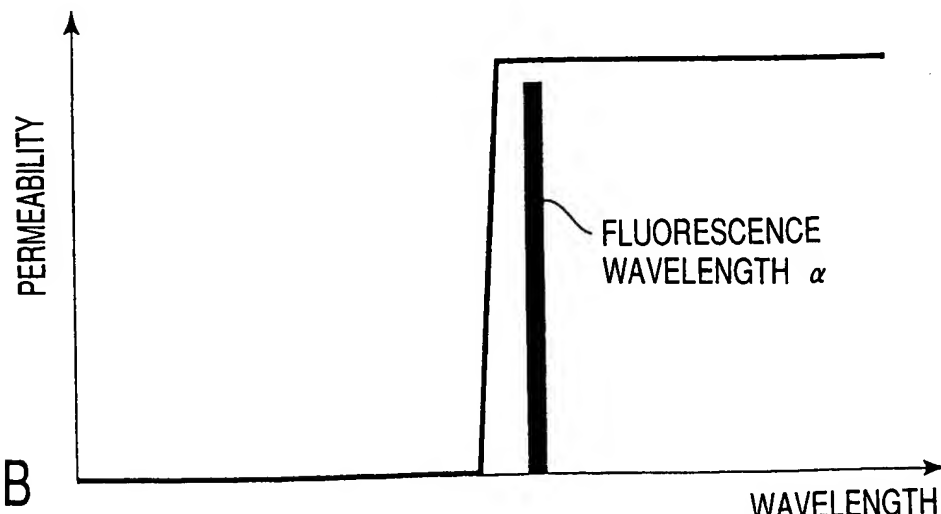


FIG. 35B